

بررسی ریزساختار و خواص مکانیکی اتصال غیرهم جنس مس خالص به فولاد زنگ‌نزن ۳۱۶*

مقاله پژوهشی

مصطفی جعفرزادگان^(۱) رضا احمدی^(۲) محمد تلافی نوغانی^(۳) احمد میری^(۴)

چکیده

در این پژوهش اتصال‌های غیرهم‌جنس مس به فولاد زنگ‌نزن ۳۱۶ با روش قوسی تنگستن‌گاز و با استفاده از دو نوع فلز پرکننده مس و مونل و همچنین جوش هم‌جنس فولاد ۳۱۶ بررسی شده است. ریزساختار با میکروسکوپ نوری، SEM و EDS بررسی شد. آزمون کشش و ضربه برای بررسی خواص مکانیکی اتصال‌ها انجام شد. به منظور بررسی تشکیل فاز سیگما، نمونه‌ها تحت عملیات حرارتی قرار گرفتند. ریزساختار جوش‌های غیرهم‌جنس دارای فاز غنی از آهن و فاز مس یا غنی از مونل بود. پس از عملیات حرارتی، در نمونه غیرهم‌جنس هیچ فاز سیگمایی مشاهده نشد که به نظر می‌رسد وجود مس و نیکل به عنوان عناصر آستنیت‌زا در ساختار باعث جلوگیری از تشکیل فاز سیگما می‌شود.

واژه‌های کلیدی اتصال غیرهم‌جنس، فولاد زنگ‌نزن ۳۱۶، مس خالص، خواص مکانیکی، فاز سیگما.

Evaluation of the Microstructure and Mechanical Properties of Dissimilar Joint between Pure Copper and Stainless Steel 316

M. Jafarzadegan

R. Ahmadi

M. Talafi noghani

A. Miri

Abstract

In this research, dissimilar joints between copper and stainless steel 316 by gas-tungsten arc welding using copper and monel filler metals and also the similar welding of steel 316 have been investigated. The microstructure was studied by OM, SEM and EDS. Tensile and impact tests were done to evaluate the mechanical properties. In order to investigate the sigma phase formation, the specimens were heat treated. The microstructure of the dissimilar welds contained an iron rich and a copper or monel phase. After heat treatment, no sigma phase was observed in the dissimilar joint that it seems that the presence of copper and nickel as an austenite stabilizer elements in the microstructure prevents the sigma phase formation.

Key Words Dissimilar joint, Stainless steel 316, Pure copper, Mechanical properties, Sigma phase.

* تاریخ دریافت مقاله ۹۸/۲/۲ تاریخ پذیرش آن ۹۹/۵/۲۰ می‌باشد.

(۱) استادیار مهندسی مواد، دانشکده فنی و مهندسی، دانشگاه بین‌المللی امام‌خمينی (ره).

Email: re.ahmadi@eng.ikiu.ac.ir

(۲) نویسنده مسئول، استادیار مهندسی مواد، دانشکده فنی و مهندسی، دانشگاه بین‌المللی امام‌خمينی (ره).

(۳) دانشیار مهندسی مواد، دانشکده فنی و مهندسی، دانشگاه بین‌المللی امام‌خمينی (ره).

(۴) کارشناسی ارشد مهندسی مواد، دانشکده فنی و مهندسی، دانشگاه بین‌المللی امام‌خمينی (ره).

مقدمه

اکثر تجهیزات و قطعات صنعتی از قسمت‌های مختلف تشکیل شده‌اند که بسیاری از آن‌ها از فلزها و آلیاژهای غیرهمجنس ساخته می‌شوند. اتصال این فلزها و آلیاژهای غیرهمجنس همواره یکی از مشکلات موجود در صنعت بوده است [۱]. جوشکاری فلزهای غیرهمجنس به‌طور گسترده برای اتصال فولادهای زنگ‌نزن به مواد دیگر به‌کار برده می‌شود. این روش اغلب در جایی استفاده می‌شود که به تغییر در خواص مکانیکی یا نحوه عملکرد نیاز باشد و می‌تواند موجب کاهش هزینه‌ها شود. اتصالات آلیاژهای غیرهمجنس در صنایع مختلف مانند تولید نیرو، صنایع شیمیایی، صنایع الکترونیکی و صنایع هسته‌ای استفاده می‌شوند و پژوهشگران متعددی این اتصالات را از جنبه‌های مختلف متالورژیکی و مکانیکی بررسی کرده‌اند [۲-۴].

فولادهای زنگ‌نزن و مس خالص تجاری تفاوت‌های زیادی مانند ترکیب شیمیایی و خواص ترمومکانیکی دارند که باعث می‌شود جوشکاری آن‌ها مشکل باشد. مس هدایت حرارتی و الکتریکی بالایی دارد ولی نسبتاً نرم و چکش‌خوار است. از طرف دیگر فولاد زنگ‌نزن سختی و استحکام خوبی دارد ولی در مقایسه با مس، هادی حرارت خوبی نیست. ترکیب این دو فلز، خواص منحصر به فردی ایجاد می‌کند که در سیستم‌های خنک‌کننده و مبدل‌های حرارتی و موتورهای احتراقی برای افزایش انتقال حرارت و همچنین کاهش وزن و قیمت سازه کاربرد دارد [5,6].

اتصال آلیاژهای مس به آلیاژهای فولادی با روش‌های مختلفی مانند جوشکاری انفجاری [7,8]، جوشکاری لیزر [5,9]، جوشکاری قوسی تنگستن‌گاز [10]، جوشکاری الکترونی [11]، پرتو الکترونی [12]، روش‌های جوشکاری ترکیبی مانند MIG-TIG [6] و پلاسما-MIG [13] و جوشکاری اصطکاکی اغتشاشی [14] انجام شده است اما روش‌های جوشکاری مانند لیزر، پرتو الکترونی و انفجاری هزینه زیادی دارند و در دسترس نیستند.

اتصال مس به فولاد زنگ‌نزن باعث ایجاد ساختاری ناهمگن خواهد شد، زیرا آهن و مس در حالت مذاب به‌طور

کامل در هم حل می‌شوند ولی طبق دیاگرام فازی دوتایی، در حالت جامد حلالیت دوطرفه اندکی دارند [3,15]. اکثر آلیاژهای مس آهن از محلول‌های جامد دوفازی تشکیل شده‌اند. عدم تشکیل ترکیبات بین‌فلزی ترد، از مزایای این اتصال‌هاست. اگرچه ممکن است در برخی کاربردهای خاص، مشکلات خوردگی به‌وجود آید. جوشکاری TIG و SMAW نسبت به روش GMAW برتری دارند، زیرا کنترل نفوذ و عمق ذوب‌شدن در آن‌ها بهتر صورت می‌گیرد [3]. شیرینی و همکاران در تحقیقی از با سه نوع فلز پرکننده، مس را به فولاد زنگ‌نزن ۳۰۴ جوشکاری کرده‌اند. اتصال این دو آلیاژ با فلز پرکننده مسی سبب تشکیل گلوله‌های فولادی در زمینه مسی و فریت دلتا (δ) در زمینه آستنیتی در ناحیه جوش شده است که این نوع ریزساختار غیرهمگن را کامپوزیتی از مس و فولاد زنگ‌نزن نامیده‌اند [16]. محققان دیگری روی اتصالات ایجادشده بین ورق مسی و سه نوع ورق فولاد زنگ‌نزن آستنیتی تحقیق کرده‌اند. نتایج، نشان‌دهنده ناحیه ذوب غیرهمگن ناشی از سردشدن سریع و اختلاط ضعیف این دو ماده است، همچنین وجود بعضی تخلخل‌ها و ترک‌های ریز را گزارش کرده‌اند [12].

از طرف دیگر جوشکاری فولادهای زنگ‌نزن نیز مشکلاتی دارد. یکی از مشکلات احتمالی فولادهای زنگ‌نزن، تشکیل فاز سیگماست؛ فاز سیگما یک ساختار بسیار سخت، ترد و شکننده است. این فاز غنی از کروم و اسما FeCr است. مقدار فاز سیگما با افزایش درصد عناصر فریت‌زایی مانند کروم، مولیبدن و سیلیسیم افزایش و در صورت افزایش عناصر آستنیت‌زایی مانند نیتروژن، نیکل و کربن کاهش می‌یابد. در صورت حضور نسبت حجمی زیاد فاز سیگما انعطاف‌پذیری و چقرمگی فولاد به‌شدت کاهش می‌یابد. رسوب‌گذاری این فاز در ساختارهای کاملاً آستنیتی سرعت کمی دارد و معمولاً نیاز به زمان‌های طولانی نگهداری در دمای بالا دارد. تشکیل فاز سیگما می‌تواند تحت شرایط محیطی با دمای بالا مانند ریخته‌گری، نورد، جوشکاری، آهنگری و پیرسازی تسریع یابد [17-21].

در این تحقیق ریزساختار و خواص مکانیکی اتصال

مس بعد از پیش گرم شدن، با برس سیمی اکسیدزدایی شدند. بعد از پیش گرم کردن و اکسیدزدایی ورق های مسی، نمونه های فولادی و مسی با فرایند جوشکاری با الکتروود تنگستن و تحت گاز محافظ (GTAW) و جریان مستقیم با الکتروود منفی (DCEN) به یکدیگر متصل شدند. اتصال جوش ها به صورت لب به لب (Butt joint) انجام شد. گاز محافظ آرگون با خلوص ۹۹/۹۹ درصد استفاده شد. الکتروود جوشکاری از نوع الکتروود تنگستن حاوی ۲ درصد توریم به قطر ۲/۴ mm بود. برای جوشکاری نمونه های غیرهم جنس از جریان ۱۸۵ آمپر با دبی گاز محافظ ۱۲ لیتر بر دقیقه، نازل سرامیکی به قطر ۶ mm و فلزهای پرکننده مس ER316L و ERNiCu-7 مونل به قطر ۳/۲ mm استفاده شد. عملیات جوشکاری در دو پاس (یک پاس در بالا و پاس دیگر در پشت ورق ها) همراه با فاصله ۲ mm بین دو ورق با یک جوشکار ماهر انجام شد. برای جوشکاری نمونه های هم جنس از گاز محافظ ۱۰ لیتر بر دقیقه و از جریان ۱۴۰ آمپر استفاده شد. شرایط جوشکاری نمونه ها در جدول (۲) ذکر شده است.

مس به فولاد زنگ نزن ۳۱۶ مطالعه شده است. علاوه بر آن، اثر عملیات حرارتی بر تشکیل فاز سیگما در اتصال غیرهم جنس مس به فولاد ۳۱۶ و اتصال هم جنس فولاد ۳۱۶ به فولاد ۳۱۶ بررسی شده است.

مواد و روش تحقیق

در این تحقیق از مواد اولیه شامل ورق های فولاد زنگ نزن ۳۱۶، ورق های مس خالص، فلز پرکننده زنگ نزن ۳۱۶ کم کربن (ER316L)، فلز پرکننده مس (ERCu) و فلز پرکننده مونل (ERNiCu-7) استفاده شد. ضخامت فلزهای پایه و قطر فلزهای پرکننده استفاده شده به ترتیب ۵ و ۳/۲ mm انتخاب شد. برای انجام این آزمایش از تعدادی ورق از جنس فولاد زنگ نزن ۳۱۶ و مس به ابعاد ۵×۵۰×۳۵۰mm استفاده شد. برای بررسی و مقایسه ترکیب شیمیایی مواد اولیه با استانداردهای مربوط از دستگاه کوانتومتری استفاده شد. در جدول (۱) ترکیب شیمیایی این مواد نشان داده شده است. ورق های مسی با زاویه ۴۵° با دستگاه فرز پخ زده شدند و ورق های فولادی بدون پخ استفاده شدند. ورق های مسی در دمای ۶۰۰°C به مدت ۱۰ دقیقه پیش گرم شدند. ورق های

جدول ۱ ترکیب شیمیایی فلزهای پایه و پرکننده (درصد وزنی)

Fe	Cu	Ti	Al	Mo	Ni	Cr	S	P	Si	Mn	C	ماده اولیه
باقیمانده	-	-	-	۲/۰۱	۱۱/۵	۱۸/۲	۰/۰۰۹	۰/۰۵۲	۰/۳۲۲	۱/۴۶	۰/۰۷	فولاد زنگ نزن ۳۱۶
باقیمانده	-	-	-	۱/۸۹	۱۱/۸۶	۱۸/۵۱	۰/۰۰۹	۰/۰۴۱	۰/۲۸۴	۱/۴۶	۰/۰۲۴	فلز پرکننده ۳۱۶L
۲/۵	۲۵/۰۶	۱/۰	۰/۷۵	-	باقیمانده	-	۰/۰۱۵	۰/۰۲	۱/۵	۴/۰	۰/۱۵	فلز پرکننده ERNiCu-7
-	۹۹/۹۹	-	-	-	-	-	-	-	-	-	-	فلز پرکننده ERCu
-	۹۹/۹۹	-	-	-	-	-	-	-	-	-	-	ورق مسی

جدول ۲ شرایط جوشکاری نمونه های هم جنس و غیرهم جنس

جوش	فلز پرکننده	جریان (آمپر)	ولتاژ (ولت)	سرعت جوشکاری (میلی متر بر ثانیه)
هم جنس	ER316L	۱۴۰	۲۴	۳
غیرهم جنس	ERCu	۱۸۵	۳۰	۱/۳
غیرهم جنس	ERNiCu-7	۱۸۵	۳۰	۱/۳

به صورت الکترولیتی با منبع تغذیه با ولتاژ ۳ ولت و جریان ۰/۱۸ آمپر و زمان ۱۰ ثانیه صورت گرفت. ارزیابی و مشاهده فاز سیگما با استفاده از میکروسکوپ الکترونی روبشی (SEM) و طیف‌سنجی پراش انرژی پرتو ایکس (EDS) و نرم‌افزار JMatPro انجام شد.

نتایج و بحث

بررسی ریزساختار

شکل (۱) ریزساختار فلز پایه فولاد زنگ‌نزن ۳۱۶ و نواحی مختلف اتصال هم‌جنس (فولاد ۳۱۶ به فولاد ۳۱۶) با جریان ۱۴۰ آمپر و فلز پرکننده ۳۱۶L را نشان می‌دهد. در شکل (۱-الف) ریزساختار فلز پایه فولادی دیده می‌شود که حاوی دانه‌های هم‌محور آستنیتی است. میانگین اندازه دانه در فلز پایه فولادی در حدود $23 \mu\text{m}$ است. شکل (۱-ب) ناحیه HAZ فولاد ۳۱۶ را نشان می‌دهد که دانه‌های آستنیت در آن اندکی بزرگ‌تر شده‌اند و اندازه دانه در حدود $26 \mu\text{m}$ شده است. یکی از پدیده‌های مختلف که در HAZ فولادهای آستنیتی می‌تواند اتفاق بیفتد، رشد دانه‌هاست. رشد دانه و نرم‌شدن HAZ وقتی که فلز پایه با کار سرد مستحکم شده است بسیار اهمیت دارد ولی در فولادهای زنگ‌نزن که در شرایط آنیل یا نورد گرم شده قرار دارند، رشد دانه بسیار شدیدی اتفاق نمی‌افتد مگر اینکه حرارت ورودی بسیار زیاد باشد [18].

پدیده دیگری که در HAZ فولادهای زنگ‌نزن آستنیتی رخ می‌دهد، تشکیل فریت دلناست است. همان‌طور که در شکل (۱-ج) دیده می‌شود، در مرزدانه‌های آستنیت در HAZ، فاز فریت تشکیل شده است. این نواحی بسیار نزدیک به ناحیه جوش بوده و دماهای بالایی را در حین جوشکاری تحمل کرده‌اند. در برخی از فولادهای زنگ‌نزن آستنیتی که دارای نسبت کروم به نیکل معادل بالاتری هستند، در اثر گرم‌شدن در دماهای نزدیک به نقطه ذوب، فاز فریت تشکیل می‌شود. فریت معمولاً در امتداد مرزدانه‌ها تشکیل می‌شود. تشکیل فریت در مرزدانه‌ها رشد دانه‌های آستنیت در HAZ را محدود می‌کند و همچنین حساسیت به ترک ذوب جزئی (liquation)

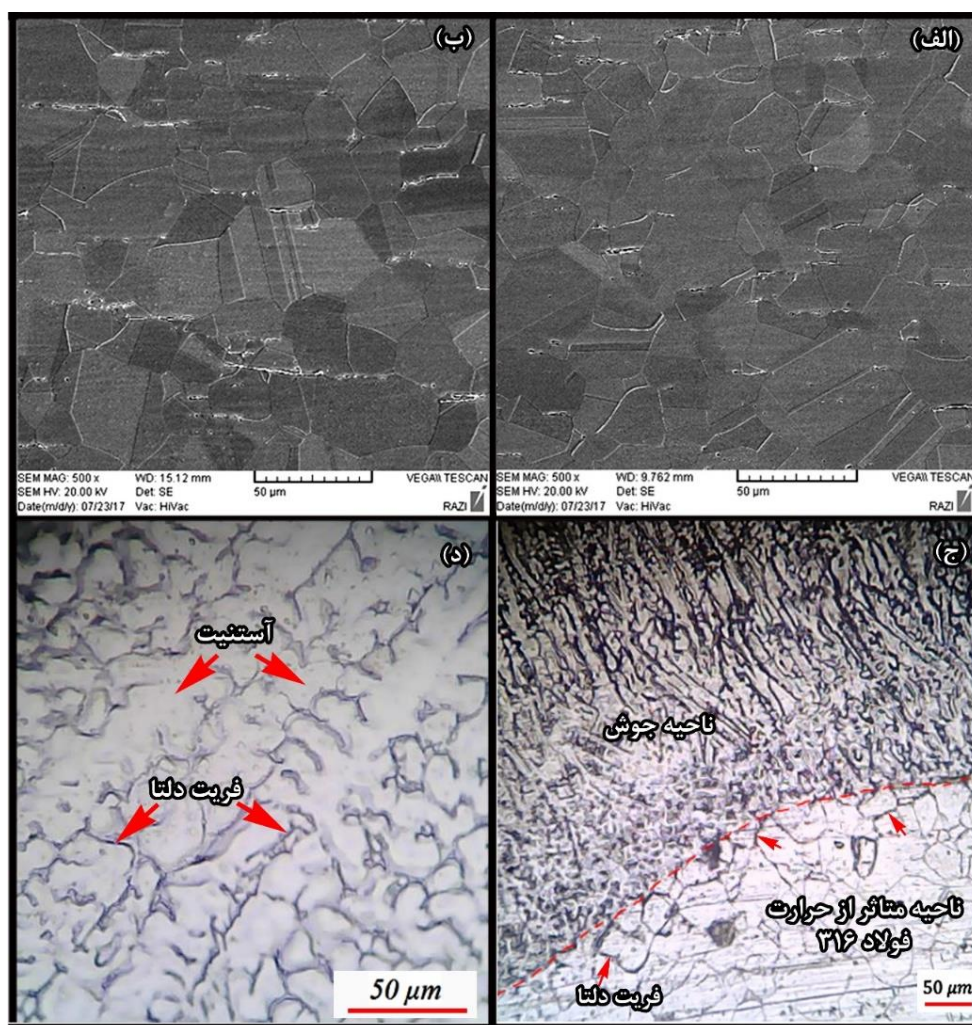
نمونه‌های متالوگرافی با دستگاه برش مجهز به آب صابون در جهت عمود بر خط جوش برش خوردند. بعد از برش، نمونه‌های متالوگرافی تحت عملیات سنباده‌زنی با سنباده‌های شماره ۶۰ تا ۳۰۰۰ قرار گرفتند. پولیش نمونه‌ها با خمیر الماسه ۰/۵ میکرون همراه با نمد مخصوص انجام شد. سپس قسمت فولادی با محلول ماربل (50cc HCl+ 10g CuSO₄ + 50ccH₂O) به مدت ۳۰ ثانیه و قسمت مسی با محلول ۵۰ درصد اسیداستیک و ۵۰ درصد اسیدنیتریک به مدت ۱۰ ثانیه با روش غوطه‌وری اچ شدند. بررسی ریزساختار نمونه‌های هم‌جنس و غیرهم‌جنس جوشکاری‌شده با میکروسکوپ نوری مدل OLYMPUS OTICA-BX60M و میکروسکوپ الکترونی روبشی (SEM) مدل VEGA TESCAN- LMU استفاده شد. محاسبه منحنی CCT تشکیل رسوب کاربید کروم M₂₃C₆ در فلز پرکننده ۳۱۶L با نرم‌افزار JMatPro انجام شد. همچنین این نرم‌افزار برای محاسبه منحنی‌های تشکیل فاز سیگما در اثر قرارگرفتن ماده در دماهای مختلف استفاده شد.

نمونه‌های کشش طبق استاندارد ASTM A370 تهیه شد. این نمونه‌ها با دستگاه وایرکات در جهت عمود بر خط جوش برش خوردند (نمونه‌های کشش عرضی) و برای آزمون کشش آماده‌سازی شدند. آزمون کشش با دستگاه تک‌محور مدل Zuik/Roell Z100 در دمای محیط و با سرعت حرکت فک ۱۰ mm/min انجام شد. نمونه‌های ضربه با برش مجهز به آب صابون برش خوردند و با روش سنباده‌زنی تا رسیدن به اندازه استاندارد طبق استاندارد ASTM E23 اصلاح شدند. فاق نمونه‌های ضربه با دستگاه وایرکات آماده‌سازی شد. آزمون ضربه در دمای محیط انجام گرفت.

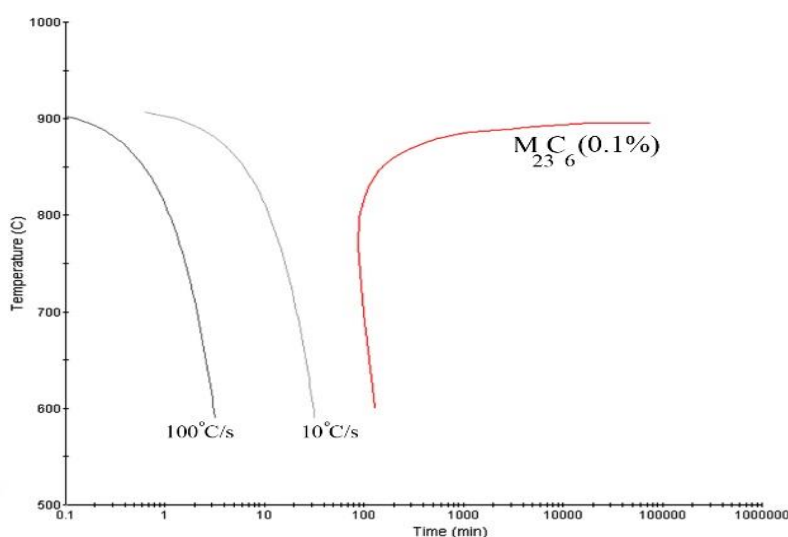
برای بررسی تشکیل فاز سیگما، نمونه‌های اتصال هم‌جنس و اتصال‌های غیرهم‌جنس تحت عملیات حرارتی قرار گرفتند. عملیات حرارتی در دمای ۸۵۰ °C و زمان ۱۴ ساعت انجام شد، سپس نمونه‌ها به مدت ۸ ساعت در کوره سرد شدند. برای مشاهده این فاز از محلول ۱۰ گرم اسیدازالیک با ۹۰ میلی‌لیتر آب استفاده شد. اچ کردن نمونه‌ها

می‌گیرد. اگرچه این رسوبات ممکن است در متالوگرافی ظاهر نشوند ولی احتمالاً در HAZ برخی فولادهای آستنیتی حضور دارند. شکل (۲) منحنی CCT تشکیل رسوب کاربید کروم $M_{23}C_6$ در فلز پرکننده تحقیق حاضر را که با نرم‌افزار JMatPro محاسبه شده است، نشان می‌دهد. باتوجه به ترکیب شیمیایی و حضور ۰/۰۲۴ درصد کربن در فلز پرکننده ۳۱۶L در این تحقیق، احتمال تشکیل کاربیدهای کروم در مرزانه‌های آستنیت در HAZ در حین سرد شدن پس از جوشکاری بسیار کم است.

(cracking) را کاهش می‌دهد [18]. در HAZ فولادهای زنگ‌نزن آستنیتی پدیده حساس شدن در اثر رسوب کاربیدها و نیتريد‌ها رخ می‌دهد که ناشی از قرارگرفتن فلز در دماهای حدود $500-800^{\circ}C$ است. تشکیل این رسوبات در مرزانه‌ها باعث تخلیه نواحی اطراف مرزانه‌ها از عنصر کروم می‌شود. کمبود عنصر کروم، نواحی اطراف مرزانه‌ها را مستعد خوردگی بیشتر می‌کند. هرچه درصد کربن در فولاد بیشتر باشد تشکیل کاربید کروم راحت‌تر بوده و در محدوده دماهای گسترده‌تری صورت



شکل ۱ تصویر ریزساختار فلز پایه فولاد ۳۱۶ و نواحی مختلف اتصال هم‌جنس فولاد ۳۱۶: (الف) فلز پایه، (ب) ناحیه HAZ، (ج) فصل مشترک جوش و HAZ و (د) جوش



شکل ۲ منحنی CCT تشکیل کاربید کروم برای فلز پرکننده فولاد ۳۱۶L تحقیق حاضر

مشترک فلز پایه و HAZ مس جوشکاری شده با فلز پرکننده ERNiCu-7 و ERCu به ترتیب در شکل های (۳-الف و ب) دیده می شود. همان طور که مشاهده می شود هر دو ناحیه حاوی دانه های هم محور مس و دوقلوبی هایی آنیل هستند، ولی اندازه دانه در ناحیه HAZ به طور چشمگیری افزایش یافته است. اندازه دانه فلز پایه مس در حدود $25 \mu\text{m}$ و در HAZ مس در حدود $170 \mu\text{m}$ است. رشد دانه در HAZ مس به دلیل تک فاز بودن این فلز است. لازم به ذکر است که وجود ذرات فاز ثانویه می تواند از رشد دانه ها جلوگیری کند و نبود چنین ذراتی در فلز پایه مس باعث رشد سریع دانه ها در اثر حرارت ورودی در HAZ مس می شود.

شکل (۳-ج و د) به ترتیب ریزساختار فصل مشترک HAZ فولاد ۳۱۶ با حوضچه جوش ایجاد شده با فلزهای پرکننده ERNiCu-7 و ERCu را نشان می دهد. در HAZ فولاد ۳۱۶ رشد دانه بیشتری نسبت به جوش هم جنس فولاد اتفاق می افتد که این رشد بیشتر دانه به دلیل جریان بیشتر جوشکاری استفاده شده در اتصال غیرهم جنس مس به فولاد و همچنین پیش گرم شدن مس قبل از جوشکاری است. اندازه دانه در HAZ فولاد به حدود $30 \mu\text{m}$ می رسد. همچنین به دلیل جریان جوشکاری بیشتر، احتمال تشکیل کاربیدهای کروم در HAZ فولاد ۳۱۶ بیشتر خواهد بود. همچنین در HAZ

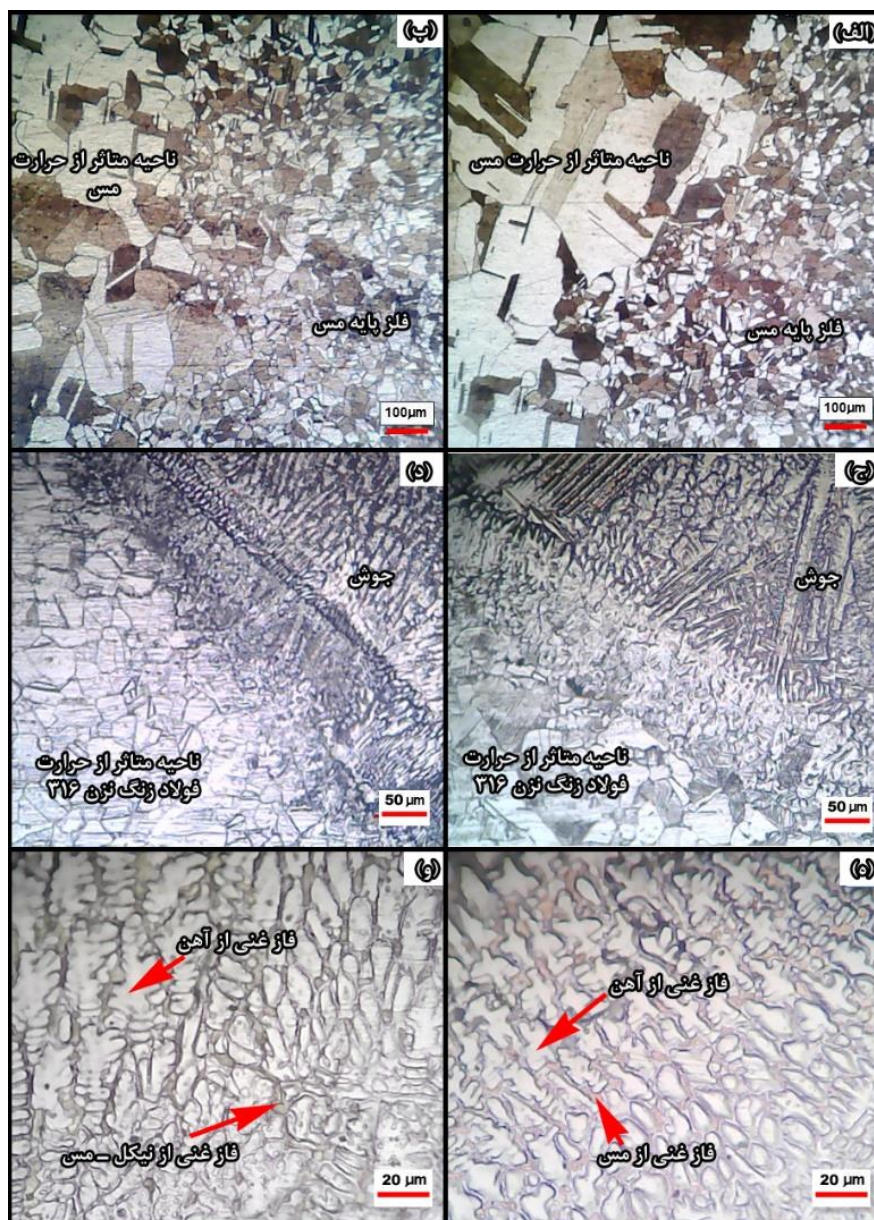
در شکل (۱-ج) در ابتدای حوضچه جوش رشد هم بافته (Epitaxial) مشاهده می شود. در رشد هم بافته، دانه های جدید روی دانه های موجود (ذوب نشده) فلز پایه تشکیل می شوند و رشد می کنند، به همین دلیل جهت گیری آن ها لزوماً در جهت شیب حرارتی بیشتر نیست. ولی در ادامه، دندریت ها و سلول ها در جهت شیب حرارتی بیشتر که انتقال حرارت در امتداد آن بیشتر است، رشد خواهند کرد. در بین دندریت های فاز آستنیت، مقداری فاز فریت دلتا وجود دارد که در مراحل اولیه انجماد تشکیل می شود.

شکل (۱-د) ناحیه جوش هم جنس فولاد ۳۱۶ را نشان می دهد. در این تصویر فلز جوش دارای فاز آستنیتی همراه با مقداری فریت دلتاست که به این ساختار، مورفولوژی اسکلتی می گویند. این ساختار در اثر ذوب شدن فولاد ۳۱۶ در جوشکاری و انجماد پس از آن حاصل می شود که در برخی دیگر از فولادهای زنگ نزن آستنیتی نیز که دارای انجماد نوع FA هستند (اول فریت و سپس آستنیت منجمد می شود) مشاهده می شود [18].

نواحی مختلف جوش های غیرهم جنس فولاد ۳۱۶ به مس با دو نوع فلز پرکننده در شکل (۳) نشان داده شده اند. اتصال غیرهم جنس از یک طرف فلز پایه فولاد ۳۱۶ و از طرف دیگر فلز پایه مس را در بر می گیرد. تصاویر فصل

حوضچه جوش، رشد هم‌بافته رخ می‌دهد و سپس دندریت‌ها و سلول‌های فولادی که عمدتاً در راستای انتقال حرارت بیشتر جهت‌گیری کرده‌اند شروع به رشد می‌کنند. در میان دندریت‌ها و سلول‌ها، فاز غنی از مس یا غنی از نیکل مس وجود دارد.

فولادهای زنگ‌نزن و آلیاژهای آهنی در صورت وجود مس، نفوذ مس در مرزدانه‌های آستنیت رخ می‌دهد که می‌تواند به ترک ناشی از آلودگی مس منجر شود. مس مایع مرزدانه‌های آستنیت را تر و در بین آن‌ها رخنه می‌کند [3,12,18] ولی در این تحقیق اثری از نفوذ مس در مرزدانه‌های HAZ فولاد ۳۱۶ مشاهده نشد. همان‌طور که در شکل دیده می‌شود، در ابتدای



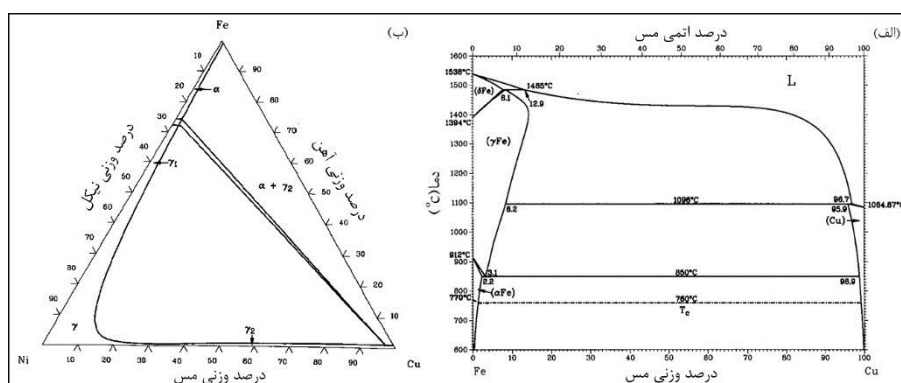
شکل ۳ ریزساختار نواحی مختلف جوش‌های غیرهم‌جنس: فصل مشترک HAZ مس و فلز پایه مس در جوش با فلز پرکننده ERCu (الف) و ERNiCu-7 (ب)؛ فصل مشترک HAZ فولاد و فلز جوش با فلز پرکننده ERCu (ج) و ERNiCu-7 (د)؛ ناحیه میانی حوضچه جوش با فلز پرکننده ERCu (ه) و ERNiCu-7 (و)

شکل (۳-ه) ریزساختار ناحیه جوش غیرهمجنس با فلز پرکننده ERcu در سمت نمونه فولادی را نشان می‌دهد که دارای فاز آستنیت حاوی آهن، نیکل و کروم همراه با فاز مسی در بین سلول‌ها و دندریتهای فولادی است که ساختار غیرهمگنی را به وجود می‌آورد. دیاگرام دوتایی آهن-مس در شکل (۴-الف) نشان داده شده است. آهن و مس در حالت مذاب حلالیت کامل در هم دارند ولی همان‌طور که مشاهده می‌شود، در حالت جامد حلالیت کمی در یکدیگر دارند و در حین انجماد و پس از آن، جدایش رخ می‌دهد و دو فاز کاملاً مجزا از یکدیگر تشکیل می‌شود. مس در آهن δ حدود ۶/۵ درصد، در آهن γ در حدود ۸ درصد و در آهن α در دمای 850°C حدود ۱/۴ درصد حل می‌شود [5] ولی با کاهش دما حلالیت مس در آهن و همچنین حلالیت آهن در مس بسیار جزئی است. از آنجایی که جوشکاری یک فرایند تعادلی نیست و سرد شدن پس از جوشکاری به سرعت اتفاق می‌افتد، در ساختار جوش‌های ایجاد شده، مخلوطی از دو فاز غیرتعادلی محلول جامد آهن و نیکل در مس و مس در فولاد زنگ‌نزن آستنیتی وجود خواهد داشت.

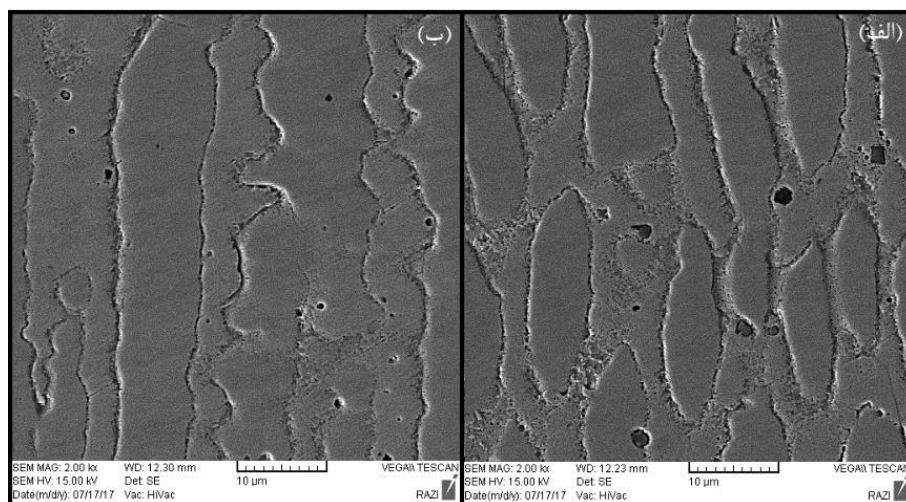
شکل (۵) وجود تخلخل‌ها و آخال‌ها را در نمونه‌های غیرهمجنس نشان می‌دهد که معمولاً در جوشکاری غیرهمجنس مس به فولاد مشاهده می‌شوند. علت به‌وجود آمدن حفرات به دلیل حلالیت گازهایی نظیر H_2 ، N_2 و H_2O در فلز مس مذاب و آزاد شدن این گازها پس از انجماد مس به دلیل کاهش حد حلالیت آن‌هاست. دیواره این حفرات هموار است که نشان می‌دهد در اثر آزاد شدن گازها تشکیل شده‌اند [6,22]. وجود تخلخل‌ها و آخال‌ها باعث افت استحکام جوش‌ها در آزمون کشش می‌شود زیرا در اطراف خود تمرکز تنش ایجاد می‌کنند و همچنین نقاطی مناسب برای تشکیل حفرات هستند. اگرچه حفرات و آخال‌ها در این تحقیق کوچک بوده‌اند و تأثیر کمی بر استحکام جوش‌ها دارند.

شکل (۳-و) ریزساختار ناحیه جوش غیرهمجنس با فلز پرکننده ERNiCu-7 را نشان می‌دهد که دارای فاز غنی از نیکل مس و فاز غنی از آهن نیکل کروم است. ساختار تقریباً مشابه جوش غیرهمجنس با فلز پرکننده ERcu است، با این تفاوت که به جای فاز مسی، در اینجا فاز نیکل مس وجود دارد. به دلیل تفاوت در خواص، اچ کردن این ناحیه غیرهمگن دشوار است. مطابق دیاگرام فازی سه‌تایی

شکل (۳-و) ریزساختار ناحیه جوش غیرهمجنس با فلز پرکننده ERNiCu-7 را نشان می‌دهد که دارای فاز غنی از نیکل مس و فاز غنی از آهن نیکل کروم است. ساختار تقریباً مشابه جوش غیرهمجنس با فلز پرکننده ERcu است، با این تفاوت که به جای فاز مسی، در اینجا فاز نیکل مس وجود دارد. به دلیل تفاوت در خواص، اچ کردن این ناحیه غیرهمگن دشوار است. مطابق دیاگرام فازی سه‌تایی



شکل ۴ (الف) دیاگرام فازی دوتایی آهن-مس و (ب) مقطع هم‌دمای دیاگرام فازی سه‌تایی آهن-مس-نیکل در دمای 20°C [15]



شکل ۵ تخلخل‌ها و اکسیدها در جوش‌های ایجادشده با (الف) فلز پرکننده ERCu و (ب) با فلز پرکننده ERNiCu-7

عمیق است. در انتهای برخی از دیمپل‌ها آخال‌هایی وجود دارد که با فلش نشان داده شده‌اند. این آخال‌ها که از نوع Cu_2O گزارش شده‌اند [6] محل‌هایی برای جوانه‌زنی حفرات و در نهایت شکست نمونه‌های کشش هستند.

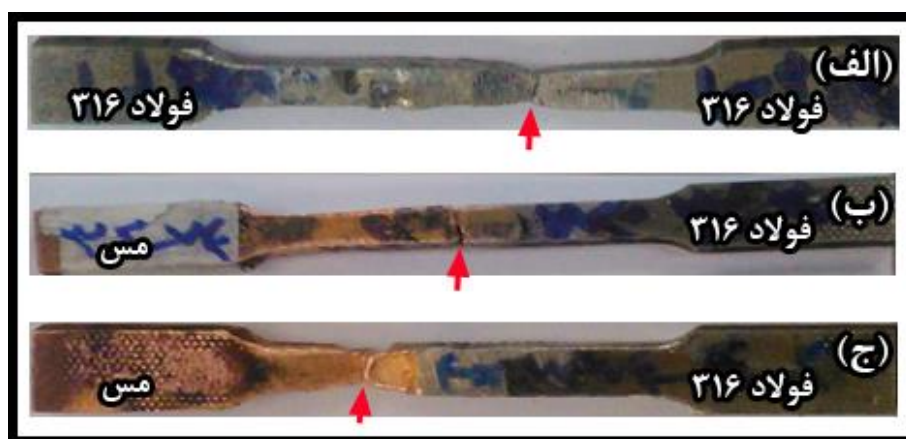
نتایج استحکام کششی و انرژی ضربه فلزهای پایه و نمونه‌های کشش عرضی تهیه‌شده از جوش‌ها در جدول (۳) ارائه شده است. استحکام کششی فلز پایه فولاد ۳۱۶ و مس به ترتیب ۵۷۰ و ۲۲۰ مگاپاسگال است. اتصال هم‌جنس دارای استحکامی بیشتر از فلز پایه فولاد ۳۱۶ است. همچنین دو اتصال غیرهم‌جنس با فلز پرکننده ERCu و ERNiCu-7 استحکام‌های اندکی بیشتر از فلز پایه ضعیف‌تر (مس) دارند. همان‌طور که در جدول (۳) مشاهده می‌شود، استحکام کششی نمونه غیرهم‌جنس با فلز پرکننده ERNiCu-7 بیشتر از نمونه غیرهم‌جنس با فلز پرکننده ERCu است.

نتایج آزمون ضربه در جدول (۳) نشان می‌دهد که دو جوش غیرهم‌جنس چقرمگی بیش از فلز پایه مس دارند. در بین نمونه‌های غیرهم‌جنس، نمونه با فلز پرکننده ERNiCu-7 دارای بیشترین انرژی ضربه (چقرمگی) است که این افزایش چقرمگی به دلیل وجود نیکل بالا در ناحیه جوش است. از آنجایی که نیکل چقرمگی بالاتری نسبت به مس دارد، وجود نیکل زیاد در فلز پرکننده باعث افزایش چقرمگی جوش شده است.

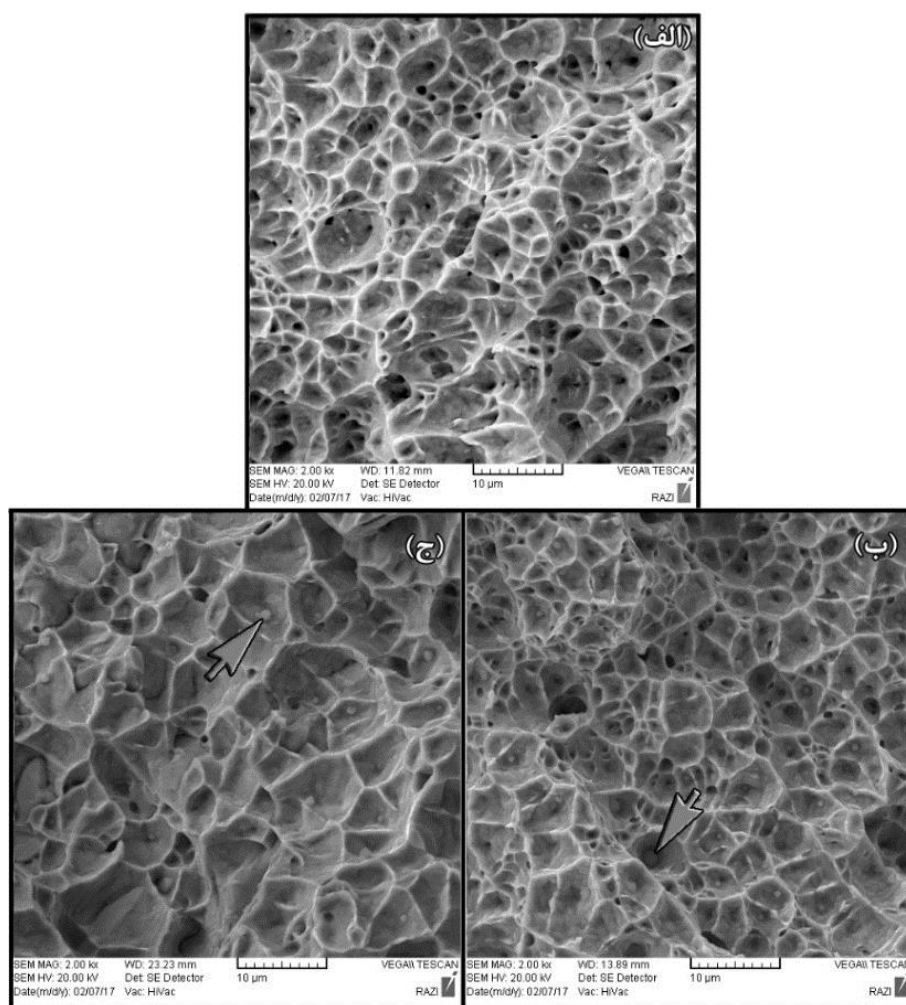
بررسی خواص مکانیکی

شکل (۶) تصویر نمونه‌های کشش عرضی را پس از آزمون کشش نشان می‌دهد. شکست اتصال هم‌جنس فولاد ۳۱۶ از ناحیه فلز پایه اتفاق افتاد. این نشان‌دهنده استحکام بیشتر جوش نسبت به فلز پایه است. شکست در نمونه‌های غیرهم‌جنس از ناحیه فصل مشترک HAZ مس و جوش رخ داد. شکست از HAZ مس نشان می‌دهد که این ناحیه ضعیف‌ترین قسمت اتصال است. درشت‌شدن اندازه دانه در ناحیه متأثر از حرارت (که در شکل (۳-الف و ب) مشاهده می‌شود)، باعث افت استحکام این ناحیه از مس شده و در نتیجه شکست نمونه‌های غیرهم‌جنس از این ناحیه ضعیف اتفاق افتاده است.

شکل (۷-الف) سطح شکست عرضی نمونه هم‌جنس را نشان می‌دهد. همان‌طور که گفته شد، شکست این نمونه از محل فلز پایه فولاد ۳۱۶ رخ داده است. فولاد ۳۱۶ نرم و دارای ازدیاد طول زیادی است و همان‌طور که در شکل دیده می‌شود، سطح شکست دارای دیمپل‌های هم‌محور ریز و با عمق نسبتاً زیاد است. شکل (۷-ب و ج) به ترتیب سطوح شکست دو نمونه غیرهم‌جنس جوشکاری‌شده با فلز پرکننده ERNiCu-7 و ERCu را نشان می‌دهد. هر دو نمونه از فصل مشترک HAZ مس و جوش دچار شکست شده‌اند. سطوح شکست نشان‌دهنده متشکل از دیمپل‌های هم‌محور و نسبتاً



شکل ۶ نمونه‌های کشش عرضی پس از شکست: (الف) جوش هم‌جنس فولاد ۳۱۶ به فولاد ۳۱۶، (ب) جوش غیرهم‌جنس مس به فولاد ۳۱۶ با فلز پرکننده ERNiCu-7 و (ج) جوش غیرهم‌جنس مس به فولاد ۳۱۶ با فلز پرکننده ERNiCu-7. محل‌های شکست با فلش نشان داده شده‌اند.



شکل ۷ (الف) سطح شکست نمونه‌های آزمون کشش عرضی (الف) جوش هم‌جنس، (ب) جوش غیرهم‌جنس با فلز پرکننده ERNiCu-7 و (ج) جوش غیرهم‌جنس با فلز پرکننده ERNiCu-7

جدول ۳ استحکام کششی و انرژی ضربه (ژول) و فلزهای پایه

نمونه	فلز پرکننده	انرژی ضربه (ژول)	استحکام کششی (مگاپاسکال)
فلز پایه (فولاد)	-	۶۰	۵۷۰
فلز پایه (مس)	-	۲۰	۲۲۰
اتصال هم جنس	ER316L	۴۸/۲	۵۹۰
اتصال غیر هم جنس	ERCu	۴۴	۲۲۵/۶
اتصال غیر هم جنس	ERNiCu-7	۵۲/۴	۲۳۳/۲

بررسی فاز سیگما

سمت چپ تصویر نشان داده شده است. با توجه به استفاده از اسیدانگزالیک که برای تشخیص فاز سیگما به کار برده می شود [25] رسوباتی در شکل دیده می شود که می توان آن ها را به فاز سیگما نسبت داد. به نظر می رسد که فاز سیگما در نواحی جوش و HAZ بیش از فلز پایه ۳۱۶ وجود دارد که این موضوع را می توان به دلیل وجود بیشتر فریت دلتا در نواحی مذکور دانست. نتایج EDS افزایش غلظت کروم به بیش از حدود ۲۴ درصد و کاهش نیکل به زیر حدود ۶ درصد را در این نواحی نشان می دهد که می تواند تأییدی بر تشکیل فاز سیگما در این نواحی باشد، زیرا نفوذ و افزایش غلظت کروم و کاهش عناصر آستنیت زا برای تشکیل فاز سیگما ضروری است. برخلاف جوش هم جنس، اثری از فاز سیگما در جوش های غیر هم جنس پس از عملیات حرارتی مشاهده نشد. نتایج EDS از نواحی مختلف جوش های غیر هم جنس، غلظت کروم بالاتر از ۲۰ درصد را نشان نداد که می تواند دلیلی بر عدم تشکیل فاز سیگما در اثر عملیات حرارتی مذکور باشد.

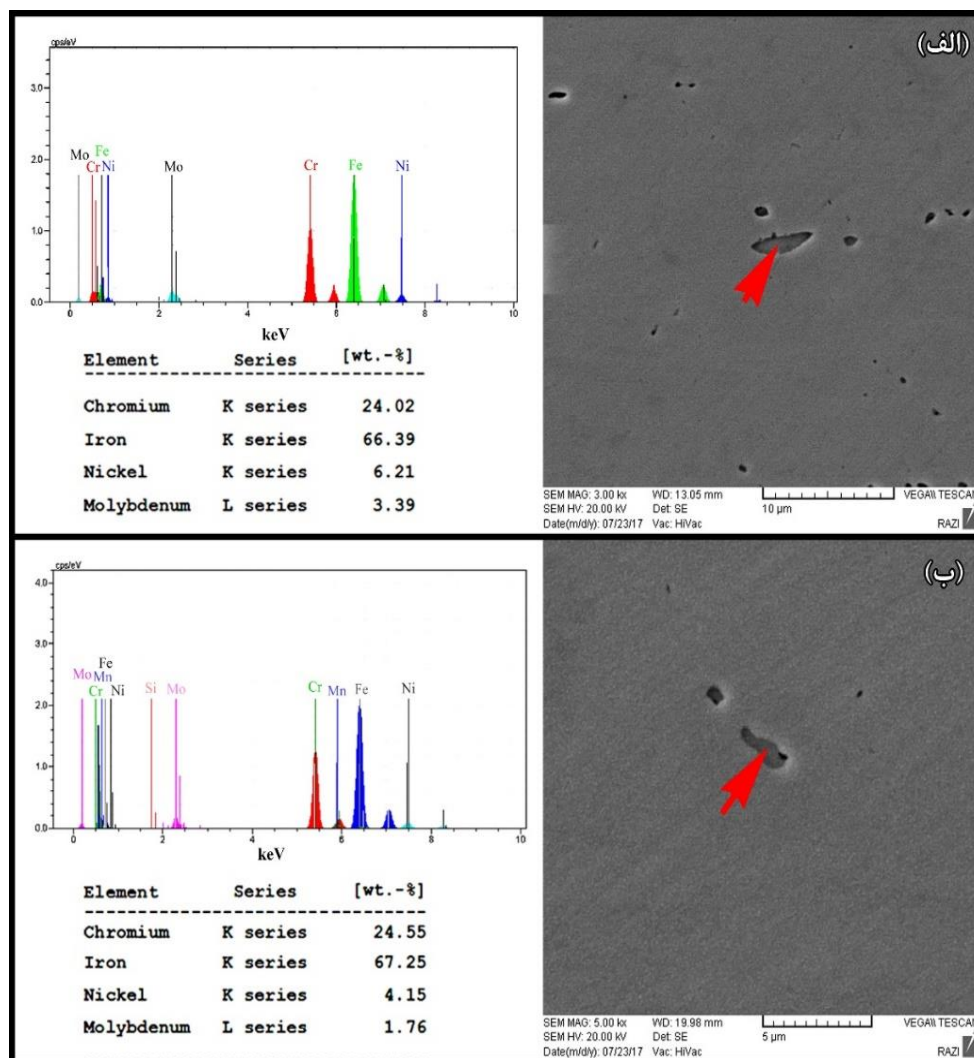
در شکل (۹) منحنی TTT برای تشکیل ۰/۵ درصد فاز سیگما برای فلز پرکننده ۳۱۶L محاسبه شده با نرم افزار JMatPro نشان داده شده است. طبق منحنی مذکور در اثر عملیات حرارتی جوش هم جنس انجام شده با فلز پرکننده ۳۱۶L در دمای ۸۵۰ °C و زمان ۱۴ ساعت فاز سیگما تشکیل خواهد شد. علاوه بر این وجود فریت دلتا و تمرکز برخی عناصر فریت زا در درون آن باعث می شود که فاز سیگما در محدوده دمایی گسترده تر و زمان های کوتاه تری تشکیل شود. شکل (۸) وجود عنصر فریت زای کروم بیشتر از مقدار

فاز سیگما، فازی مضر در فولادهای زنگ نزن بوده که دارای ساختار تتراگونال پیچیده ای است. تشکیل فاز سیگما در فولادهای زنگ نزن آستنیتی نیاز به نگهداری فولاد زنگ نزن در دماهای بالا به مدت های طولانی دارد و معمولاً در حین جوشکاری و عملیات حرارتی های معمولی اتفاق نمی افتد. محققان اشاره کرده اند که تشکیل فاز سیگما بسیار کند بوده، بنابراین عامل کنترل کننده است. وقتی فاز سیگما تشکیل شود، رشد آن نسبتاً سریع خواهد بود. فریت و سیگما ترکیب مشابهی از نظر آهن، کروم و نیکل دارند [19]. عواملی مانند تغییر شکل پلاستیک، وجود فاز فریت دلتا و وجود برخی عناصر مانند Nb بر تشکیل فاز سیگما اثر گذاشته و آن را تسریع می کنند [23,24]. فاز سیگما در دماهایی حدود ۶۰۰ تا ۱۰۰۰ °C تشکیل می شود و در بسیاری از فولادهای زنگ نزن از جمله گروه فولادهای زنگ نزن آستنیتی مشاهده شده است. ترکیب شیمیایی آن بسته به نوع فولاد و وجود عناصر آلیاژی متفاوت است. در فولاد ۳۱۶ فاز سیگما با ترکیب حدود ۲۹ درصد کروم مشاهده شده است. فاز سیگما سختی را افزایش می دهد ولی چقرمگی و ازدیاد طول را کم می کند. فریت دلتا در نواحی دارای غلظت کروم بیشتر به فاز سیگما تبدیل می شود. اگرچه وقتی فریت دلتا وجود ندارد، این فاز می تواند مستقیماً از آستنیت به وجود آید ولی نامحتمل است [17].

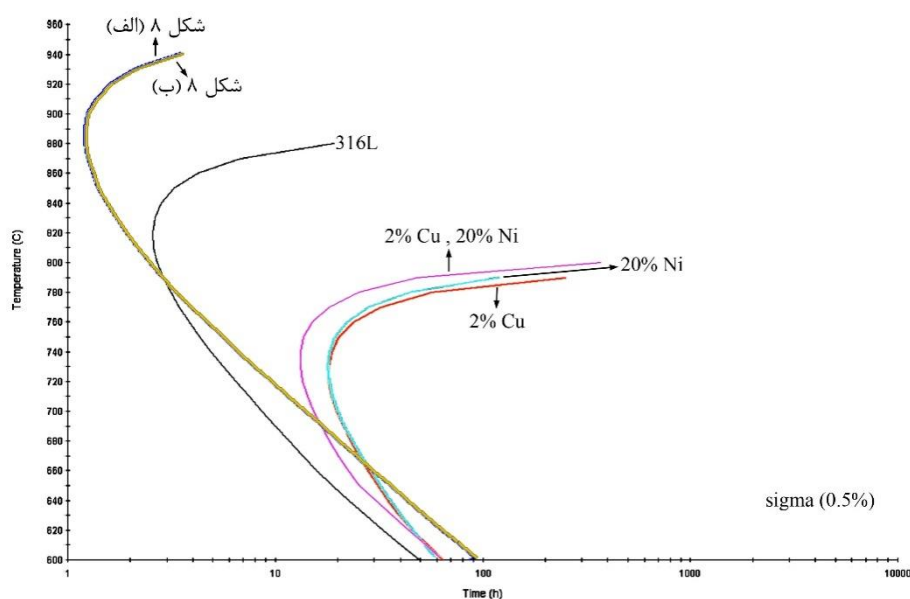
شکل (۸) تصویر از ناحیه جوش و HAZ در جوش هم جنس فولاد ۳۱۶ پس از قرار گرفتن در دمای بالا را نشان می دهد. همچنین نتایج EDS از نواحی نشان داده شده، در

نتایج محاسبات با نرم‌افزار JMatPro، افزایش نیکل در ترکیب شیمیایی فولاد ۳۱۶L باعث می‌شود منحنی‌های تشکیل فاز سیگما به نواحی کمتر از دمای حدود 800°C محدود شود و زمان تشکیل آن نیز بسیار طولانی‌تر شود. وجود مس در فلز پرکننده مسی نیز اثری مشابه روی منحنی تشکیل فاز سیگما دارد. همچنین محققان گزارش کرده‌اند که وجود ذرات مس باعث قفل کردن مرزانه‌های فصل مشترک فاز سیگما و فاز گاما و سبب تشکیل نشدن این فاز در فولاد زنگ‌نزن دوفازی شده است [26].

میانگین را در جوش و HAZ جوش‌های هم‌جنس نشان می‌دهد که اثر آن بر منحنی‌های تشکیل فاز سیگما در شکل (۹) مشاهده می‌شود. همان‌طور که انتظار می‌رود، افزایش مقدار کروم، تشکیل فاز سیگما را در محدوده دماهای گسترده‌تر و بالاتر و زمان‌های کمتر تسهیل می‌کند. در بررسی‌های ریزساختاری جوش‌های غیرهم‌جنس که با فلزات پرکننده مس و مونل جوشکاری شده بودند، اثری از فاز سیگما در جوش‌ها حتی پس از عملیات حرارتی مشاهده نشد. دلیل این موضوع را می‌توان به وجود مقدار نیکل بیشتر در جوش‌های انجام‌شده با فلز پرکننده مونل نسبت داد. طبق



شکل ۸ فاز سیگما در نواحی مختلف جوش هم‌جنس فولاد ۳۱۶L در (الف) HAZ و (ب) در ناحیه میانی جوش



شکل ۹. منحنی‌های TTT برای تشکیل فاز سیگما در مقادیر مختلف ترکیب شیمیایی

مگاپاسکال است که ۶ و ۲/۵ درصد بیشتر از فلز پایه ضعیف‌تر (مس) است. سطوح شکست تمام نمونه‌ها از نوع نرم و حاوی دیمپل‌های هم‌محور و نسبتاً عمیق است. ۳. از نظر چقرمگی شکست در بین نمونه‌های غیرهم‌جنس، نمونه با فلز پرکننده ERNiCu-7 دارای بیشترین انرژی ضربه است که این افزایش چقرمگی به دلیل وجود نیکل بالا در ناحیه جوش است. انرژی ضربه این نمونه بسیار بیشتر از فلز پایه مس است. ۴. عملیات حرارتی در دمای 850°C به مدت ۱۴ ساعت باعث تشکیل رسوباتی در جوش هم‌جنس می‌شود که می‌توان آن را به فاز سیگما نسبت داد. اما وجود مس و نیکل به‌عنوان عناصر آستنیت‌زا باعث جلوگیری از تشکیل فاز سیگما در جوش‌های غیرهم‌جنس فولاد به مس حتی پس از نگهداری طولانی در دمای بالا شده است.

نتیجه‌گیری

جو شکاری هم‌جنس فولاد ۳۱۶ و جو شکاری غیرهم‌جنس فولاد ۳۱۶ به مس با دو نوع فلز پرکننده با موفقیت انجام و نتایج زیر حاصل شد:

۱. ریزساختار جوش هم‌جنس فولاد ۳۱۶ حاوی آستنیت است. ریزساختار جوش غیرهم‌جنس فولاد ۳۱۶ به مس متصل شده با فلزهای پرکننده ERNiCu-7 و ERCu به ترتیب شامل ذرات کروی مس در فولاد و آلیاژ نیکل مس در فولاد است. مس در آهن و آهن در مس در حالت جامد در یکدیگر حل نمی‌شوند و ساختار جوش‌ها پس از انجماد، کامپوزیتی غیرهمگن از آلیاژ مس و آلیاژ فولادی است.
۲. استحکام کششی نمونه‌های غیرهم‌جنس با فلزهای پرکننده ERNiCu-7 و ERCu به ترتیب $233/2$ و $225/6$

مراجع

۱. معینان، م.، "کلیدجوشکاری"، انتشارات آزاده، (۱۳۹۱).
۲. خسروانی‌نژاد، ا.ح.، شمعیان، م.، رضائیان، ا.، عطاپور، م.، "بررسی خواص مکانیکی اتصال غیرمشابه فولاد زنگ‌نزن آستنیتی ۳۱۶ AISI به فولاد کم‌کربن St ۳۷ با استفاده از جوشکاری اصطکاکی اغتشاشی"، مواد پیشرفته در مهندسی مواد، سال ۳۴، شماره ۲، (۱۳۹۴).
3. Kearns, W. H., (Editor), "Welding Handbook, Metals and Their Weldability", American Welding Society Inc., Miami, Vol. 4. pp. 514-521 (1997).

۴. خسروانی نژاد، ا.ح.، شمعانیان، م.، رضائیان، ا.، عطاپور، م.، "تحولات ریزساختاری در طی جوشکاری اصطکاکی اغتشاشی فولاد زنگ‌نزن آستنیتی AISI316 به فولاد کم‌کربن St37"، مهندسی متالورژی و مواد، سال بیست‌وهفتم (۲)، (۱۳۹۵).
5. Kuryntsev, S. V., Morushkin, A. E., and Gilmudinov, A. Kh., "Fiber laser welding of austenitic steel and commercially pure copper butt joint", *Optics and Lasers in Engineering*, Vol.90, pp. 101–9, (2017).
6. Cheng, Z., Huang, J., Ye, Z., Chen, Y., Yang and J., Chen, S., "Microstructures and mechanical properties of copper-stainless steel butt welded joints by MIG-TIG double-sided arc welding", *Journal of Materials Processing Technology*, Vol. 265, pp. 87–98, (2019).
7. Wang, Y., Li, X., Wang, X., and Yan, H., "Fabrication of a thick copper-stainless steel clad plate for nuclear fusion equipment by explosive welding. *Fusion Engineering and Design*", Vol.137, pp. 91–96, (2018).
۸. خانزاده قره شیران، م.ر.، بختیاری، ح. و محمدجوادی، م.، "تأثیر فاصله توقف و ضخامت ماده منفجره بر خواص اتصال انفجاری مس - فولاد زنگ‌نزن ۳۰۴"، مواد پیشرفته در مهندسی، سال ۳۶، شماره ۳، (۱۳۹۶).
9. Mannucci, A., Tomashchuk, I., Vignal, V., Sallamand, P., and Duband, M., "Parametric study of laser welding of copper to austenitic stainless steel", *Procedia CIRP*, Vol. 74, pp. 450-455, (2017).
10. Tat, D., Pasang, T., and Ramezani, M., "Gas tungsten arc welding of copper and mild steel", *Journal of Engineering and Technology*, Vol.5, pp. 12-17, (2015).
11. Velu, M., and Bhat, S., "Metallurgical and mechanical examinations of steel–copper joints arc welded using bronze and nickel-base superalloy filler materials", *Materials & Design*, Vol. 47, pp. 793–809, (2013).
12. Magnabosco, I., Ferro, P., Bonollo, F., and Arnberg, L., "An investigation of fusion zone microstructures in electron beam welding of copper–stainless steel", *Materials Science and Engineering A.*, Vol. 424, pp. 163-73, (2006).
13. Satoru Asai, M., Tsuyoshi Ogawa, M., Yoshiki Ishizaki, M., Toshiyuki Minemura, M., Hideyuki Minami, M., Satoshi, M., and Iyazaki, M., "Application of Plasma MIG Hybrid Welding to Dissimilar Joints Between Copper and Steel", *Welding in the World*, Vol. 56, pp. 37-42, (2013).
14. Shokri, V., Sadeghi, A., and Sadeghi, M.H., "Effect of friction stir welding parameters on microstructure and mechanical properties of DSS–Cu joints", *Materials Science & Engineering A.*, Vol. 693, pp. 111-120, (2017).
15. Baker, H., (Editor), "ASM Handbook: Alloy Phase Diagrams", ASM International, Ohio, (1992).
16. Shiri, S.G., Nazarzadeh, M., Shariftabar, M., and Afarani, M. S., "Gas tungsten arc welding of CP-copper to 304 stainless steel using different filler materials", *Trans Nonferrous Metal Society of China*, Vol. 22, pp. 2937-2942, (2012).
17. Hsieh, C. C., and Wu, W., "Overview of Intermetallic Sigma Phase Precipitation in Stainless Steels", *ISRN Metallurgy*, Vol. 2012, (2012).
18. Lippold, J. C., and Kotecki, D., "Welding metallurgy and weldability of stainless steels", John Wiley & Sons, Hoboken, (2014).
19. Vitek, J. M., and David, S., "The sigma phase transformation in austenitic stainless steels", *welding research*

- supplement*, April 1986, pp. 106s-111s, (1986).
20. Lee, C., Lee, Y., Lee, C., and Hong, S., "Precipitation behavior of the sigma phase with Ni and Mn content variations in superaustenitic stainless steel weld metal", *Materials Characterization*, Vol. 144, pp. 148-154, (2018).
 21. Sieurin, H., and Sandström, R., "Sigma phase precipitation in duplex stainless steel 2205", *Materials Science and Engineering A*, Vol. 444, pp. 271-276, (2007).
 22. Lin, J. W., Chang, H. C., and Wu, M. H., "Comparison of mechanical properties of pure copper welded using friction stir welding and tungsten inert gas welding", *Journal of Manufacturing Processes*, Vol. 304, pp.296-304, (2014).
 23. Zhou, Q., Wang, R., Zheng, Z., and Gao, Y., "Interpretation for the fast sigma phase precipitation in the high intensity shot peened nanocrystallined Super 304H stainless steel", *Applied Surface Science*, Vol. 462, pp. 804-814, (2018).
 24. Ji, Y. S., Park, J., Lee, S. Y., Kim, J. W., Lee, S. M., Nam, J., et al., "Long-term evolution of σ phase in 304H austenitic stainless steel: Experimental and computational investigation", *Materials Characterization*, Vol. 128, pp. 23-29, (2017).
 25. Mills K., (editor), "ASM Metals Handbook: Metallography and Microstructures", ASM International, United States of America, (1992).
 26. Smuk, O., Nenonen, P., Hanninen, H., and Liimatainen, J., "Microstructures of a Powder Metallurgy-Hot-Isostatically Pressed Super Duplex Stainless Steel Forming in Industrial Heat Treatments", *Metallurgical and Materials Transaction A*, Vol. 35A, pp. 2013-2019, (2004).

